

# О зависимости времени релаксации намагниченности однодоменных ферромагнитных частиц от коэффициента затухания в модели Брауна

© Ю.П. Калмыков, В.Т. Коффи\*, С.В. Титов\*\*

Lab. Mathématiques et Physique pour les Systèmes, Université de Perpignan,  
66860 Perpignan Cedex, France

\* Department of Electronic and Electrical Engineering, Trinity College,  
Dublin 2, Ireland

\*\* Институт радиотехники и электроники Российской академии наук,  
141190 Фрязино, Московская обл., Россия

E-mails: kalmykov@univ-perp.fr  
wcoffey@mee.tcd.ie  
svt245@ire216.msk.su

(Поступила в Редакцию 20 января 2004 г.  
В окончательной редакции 27 апреля 2004 г.)

Получены аналитические выражения для времени релаксации намагниченности  $\tau$  однодоменных ферромагнитных частиц с кубической анизотропией и с одноосной анизотропией в присутствии постоянного поперечного поля. Вывод этих выражений основан на использовании метода расчета скорости выхода броуновской частицы из потенциальной ямы, применимого при любых значениях коэффициента затухания, а также на обобщении этого метода на случай магнитной релаксации суперпарамагнитных частиц. Применимость полученных выражений для расчета  $\tau$  проиллюстрирована сравнением с результатами численного решения стохастического уравнения Ландау–Лифшица–Гильберта во всем диапазоне изменения коэффициента диссипации (при слабом, умеренном и сильном затухании, а также в промежуточной области между слабым и умеренным затуханием).

Работа выполнена при поддержке INTAS (проект N 01-2341).

## 1. Введение

Для достижения высокой плотности магнитной записи требуется максимально уменьшить размер магнитных частиц, являющихся носителями информации. Однако, с уменьшением размеров частицы до нескольких нанометров, усиливается влияние тепловых флуктуаций на магнитные свойства частицы [1]. Именно тепловые флуктуации определяют время релаксации намагниченности наночастицы, что в свою очередь сказывается на надежности хранения информации. Тепловая нестабильность намагниченности обуславливает явление суперпарамагнетизма [1–3], поскольку каждая частица ведет себя как парамагнитный атом с магнитным моментом  $\sim 10^4 - 10^5$  магнетонов Бора. Динамика намагниченности  $\mathbf{M}$  суперпарамагнитных частиц аналогична броуновскому вращению макромолекулы в жидкости и описывается (в контексте диффузионной модели Брауна [3,4]) уравнением Фоккера–Планка для функции распределения  $W(\mathbf{M}, t)$  намагниченности

$$\frac{\partial}{\partial t} W = L_{FP} W$$

$$= \frac{1}{2\tau_N} \left\{ \beta [\alpha^{-1} \mathbf{u} (\nabla V \times \nabla W) + \nabla (W \nabla V)] + \Delta W \right\}. \quad (1)$$

Здесь  $L_{FP}$  — оператор Фоккера–Планка,  $\Delta$  и  $\nabla$  — операторы Лапласа и градиента на поверхности единичной сферы,  $V$  — плотность свободной энергии частицы,  $\mathbf{u}$  —

единичный вектор вдоль вектора намагниченности  $\mathbf{M}$ ,  $\beta = v/kT$ ,  $v$  — объем частицы,  $k$  — постоянная Больцмана,  $T$  — температура,

$$\tau_N = \beta M_S (1 + \alpha^2) / (2\gamma\alpha) \quad (2)$$

— характеристическое (диффузионное) время,  $M_S$  — намагниченность материала частицы,  $\alpha = \gamma\eta M_S$  — безразмерный коэффициент затухания, характеризующий интенсивность тепловых флуктуаций,  $\gamma$  — гиромагнитное отношение,  $\eta$  — коэффициент трения. Уравнение Фоккера–Планка (1) выводится из уравнения Ландау и Лифшица [5] или из аналогичного уравнения Гильберта [6] с флуктуирующим полем  $\mathbf{h}(t)$ , которое учитывает тепловые флуктуации намагниченности индивидуальной частицы (уравнение Ланжевена)

$$\dot{\mathbf{M}}(t) = \gamma \{ \mathbf{M}(t) \times [\mathbf{H}(t) + \mathbf{h}(t) - \eta \dot{\mathbf{M}}(t)] \}, \quad (3)$$

где магнитное поле  $\mathbf{H} = -\partial V / \partial \mathbf{M}$  включает в себя внешние поля и поле магнитной анизотропии. По порядку величины амплитуду  $\mathbf{h}(t)$  можно оценить как  $(\beta M_S)^{-1}$ , что дает при комнатной температуре величину  $\geq 100$  Ое (таким образом, случайное поле соизмеримо с полем анизотропии) [7]. При выводе (1) предполагалось, что намагниченность  $\mathbf{M}$  всегда однородна, изменяется только ее направление (но не величина); кроме того, не учитывались межчастичные взаимодействия и эффекты памяти. Детальное обсуждение области применимости уравнений Фоккера–Планка (1) и Гильберта (3) можно найти, например, в [4,7–9].

Для оценки времени релаксации намагниченности Браун [3,4] обобщил метод Крамерса [10] расчета скорости выхода (escape rate)  $\Gamma$  броуновской частицы из потенциальной ямы с высотой барьера  $\Delta U$

$$\Gamma = A \frac{\omega_a}{2\pi} e^{-\Delta U/kT}, \quad (4)$$

где  $\omega_a$  — угловая частота колебательного движения броуновской частицы на дне потенциальной ямы [11,12], а множитель  $A$  характеризует энергетический обмен частицы с окружением. Основная идея метода Крамерса заключается в вычислении множителя  $A$  в (4) для различных режимов диссипации, а именно слабой, сильной и промежуточной диссипации. Крамерс [10] вывел формулы для скорости выхода  $\Gamma$  броуновской частицы из потенциальной ямы как для умеренного и сильного, так и для слабого затухания (в обоих случаях предполагая, что высота потенциального барьера  $\Delta U$  много больше тепловой энергии). Крамерс, однако, не смог получить формулу, справедливую во всем диапазоне измерения параметра затухания. Эта проблема была решена позднее Мельниковым и Мешковым [13,14], которые вывели такую универсальную формулу для  $\Gamma$ . Идея их метода заключается в преобразовании уравнения Фоккера–Планка к интегральному уравнению Винера–Хопфа. Для этого осуществляется переход к новым переменным (энергия, действие). При этом энергетическая функция распределения рассматривается при заданном значении действия  $S$ , которое в данном случае выступает как параметр. Решение уравнения Винера–Хопфа затем находится в явном виде. Это решение позволяет рассчитать скорость выхода  $\Gamma$  во всей области изменения параметра диссипации [13,14].

Используя метод Крамерса для расчета время релаксации  $\tau \sim \Gamma^{-1}$  продольной компоненты намагниченности  $M_z$ , Браун в своей первой работе [3] ограничился рассмотрением аксиально-симметричного потенциала магнито-кристаллической анизотропии. В этом случае продольные и поперечные моды вращательного движения  $\mathbf{M}$  могут рассматриваться независимо, причем продольные моды характеризуются только полярным углом  $\vartheta$  (азимутальный угол  $\varphi$  описывает прецессионное движение  $\mathbf{M}$ ), а плотность вероятности  $W$  является функцией только одной переменной  $\vartheta$ . Только в этом случае теория Крамерса [10], разработанная для механической броуновской частицы в случае сильной диссипации, может быть применена для расчета  $\tau$  при всех значениях коэффициента затухания  $\alpha$ . Следует, однако, отметить, что одномерное уравнение Фоккера–Планка для плотности вероятности  $W$  распределения  $M_z$  является следствием не сильного затухания, как для броуновской частицы, а аксиальной симметрии свободной энергии  $V$ . В случаях когда плотность свободной энергии  $V(\vartheta, \varphi)$  не обладает аксиальной симметрией, расчет скорости переориентации намагниченности  $\mathbf{M}$  суперпарамагнитных частиц отличается в ряде существенных деталей от расчета скорости выхода для механической

броуновской частицы. Во-первых, свободная энергия магнитной частицы характеризуется двумя степенями свободы  $\vartheta$  и  $\varphi$  и в общем случае не допускает разделения переменных. Во-вторых, намагниченность частицы не обладает инерцией, а уравнение для намагниченности содержит гиромагнитный член. Именно гиромагнитным членом обусловлена взаимосвязь продольных и поперечных мод при отсутствии аксиальной симметрии свободной энергии. По аналогии с механической броуновской частицей здесь также можно выделить три области изменения  $\alpha$  [12]:

(i)  $\alpha \geq 1$  — умеренное и сильное затухание (intermediate-to-high damping, ИHD). В этом случае функция распределения в потенциальной яме является почти равновесной (больцмановской). Слабое отличие наблюдается на высоте барьера в силу утечки частиц через барьер.

(ii)  $\alpha \ll 1$  — очень слабое затухание (very low damping, VLD). Здесь в уравнении Фоккера–Планка (1) можно перейти к новым переменным действие (медленная переменная)–угол (быстрая переменная) и затем усреднить функцию распределения по быстрой переменной вдоль траекторий прецессионного движения в потенциальной яме.

(iii)  $0.01 < \alpha \leq 1$  — промежуточная (crossover) область. В этой области не применимы формулы ни для слабого, ни для умеренного и сильного затухания. В частности в отличие от области слабого затухания здесь невозможно провести усреднение по быстрой переменной.

Для магнитных частиц расчетная формула для скорости переориентации намагниченности  $\Gamma$  при умеренном и сильном затухании ( $\alpha \geq 1$ ) была получена Смитом и де Розарио [15] и Брауном [4]. Соответствующая формула в случае слабого затухания ( $\alpha \ll 1$ ) была выведена Кликом и Гунтером [9]. (Следует заметить, что метод расчета  $\Gamma$  для ИHD области [4,15] является частным случаем теории Лангера расчета временных характеристик релаксационных процессов в метастабильных состояниях для систем со многими степенями свободы [16]). В работах [12,17] обобщен метод Мельникова и Мешкова [13] для расчета скорости переориентации намагниченности  $\Gamma$  магнитных частиц в промежуточной области,  $0.01 < \alpha < 1$ . Метод [12,17] позволяет рассчитать  $\Gamma$  во всей области изменения коэффициента затухания  $\alpha$ . В настоящей работе этот метод применен в двух частных случаях: кубической анизотропии и одноосной анизотропии в присутствии поперечного магнитного поля [12,17]. В этих случаях свободная энергия  $V$  имеет эквивалентные метастабильные состояния, что существенно упрощает расчеты (случай неэквивалентных состояний будет рассмотрен в другой работе). Времена релаксации для подобных систем в областях ИHD и VLD рассчитывались, например, в [4,9,15,18,19]. Однако, согласно экспериментальным и теоретическим оценкам значения параметра затухания  $\alpha$  лежат в промежуточном диапазоне 0.01–0.1 (см., например, [8,9,20,21]). Как уже отмечалось, в этой области ни

ИHD, ни VLD формулы не пригодны для количественных оценок [22,23]. В данной работе выведены выражения для времени релаксации намагниченности, справедливые во всем диапазоне изменения  $\alpha$ . Точность полученных выражений продемонстрирована путем сравнения с результатами численного решения уравнения Фоккера–Планка (1).

## 2. Основные соотношения

Предположим, что плотность свободной энергии  $V(\mathbf{M})$  однодоменной ферромагнитной частицы имеет минимумы в направлениях  $\mathbf{n}_i$  и  $\mathbf{n}_j$ , разделенные потенциальным барьером с седловой точкой (точкой перевала) в направлении  $\mathbf{n}_0$  (величина барьера предполагается много большей, чем тепловая энергия). Пусть

$$u_1^{(k)} = \sin \vartheta_k \cos \varphi_k, \quad u_2^{(k)} = \sin \vartheta_k \sin \varphi_k, \quad u_3^{(k)} = \cos \vartheta_k$$

— направляющие косинусы вектора  $\mathbf{M}$  относительно системы координат с началом в стационарной точке  $k$  ( $k = 0, i, j$ ) с осью  $z$ , перпендикулярной к поверхности  $V(\mathbf{M})$ . Тогда  $V(\mathbf{M})$  в точке  $\mathbf{n}_k$  может быть разложена в ряд Тейлора по степеням  $u_1^{(k)}$  и  $u_2^{(k)}$ . С точностью до членов второго порядка это разложение будет иметь вид [4,24]

$$V = V_k + \frac{1}{2} [c_1^{(k)} (u_1^{(k)})^2 + c_2^{(k)} (u_2^{(k)})^2], \quad (5)$$

$$c_1^{(k)} = \frac{\partial^2 V}{\partial u_1^{(k)2}}, \quad c_2^{(k)} = \frac{\partial^2 V}{\partial u_2^{(k)2}}.$$

После подстановки (5) в (1) решение уравнения Фоккера–Планка может быть найдено вблизи точки перевала [4]. Это решение позволяет рассчитать скорость выхода при умеренном и сильном затухании  $\Gamma_{ij}^{\text{IHD}}$  из  $i$ -й потенциальной ямы [4,12,24]

$$\Gamma_{ij}^{\text{IHD}} \sim \frac{\Omega_0 \omega_i}{2\pi \omega_0} e^{-\beta(V_0 - V_i)}, \quad (6)$$

где  $\omega_i = \gamma/M_S \sqrt{c_1^{(i)} c_2^{(i)}}$  и  $\omega_0 = \gamma/M_S \sqrt{-c_1^{(0)} c_2^{(0)}}$  — угловые частоты либрационного движения  $\mathbf{M}$  на дне ямы и в седловой точке соответственно и

$$\Omega_0 = \frac{\beta}{4\tau_N} \left[ -c_1^{(0)} - c_2^{(0)} + \sqrt{(c_2^{(0)} - c_1^{(0)})^2 - 4\alpha^{-2} c_1^{(0)} c_2^{(0)}} \right].$$

При слабом затухании ( $\alpha \ll 1$  или более точно  $\alpha < 0.001$ , согласно численным расчетам [22,23]) выражение для скорости выхода  $\Gamma_{ij}^{\text{VLD}}$  из  $i$ -й потенциальной ямы было получено в [9] (см. также обзор [12]). Это выражение имеет вид

$$\Gamma_{ij}^{\text{VLD}} \sim \frac{\omega_i \alpha S_i}{2\pi} e^{-\beta(V_0 - V_i)}, \quad (7)$$

где  $S_i$  — безразмерная переменная действия в седловой точке, определяемая как

$$S_i = \beta \oint_{V(\vartheta, \varphi) = V_0} \left[ (1 - \cos^2 \vartheta) \frac{\partial}{\partial \cos \vartheta} V(\vartheta, \varphi) d\varphi - (1 - \cos^2 \vartheta)^{-1} \frac{\partial}{\partial \varphi} V(\vartheta, \varphi) d \cos \vartheta \right]. \quad (8)$$

В случае одной седловой точки контурный интеграл в (8) берется по замкнутой критической траектории  $\vartheta(\varphi)|_{V=V_0}$ , проходящей через данную седловую точку и определяемой из решения уравнения  $V(\vartheta, \varphi) = V_0$ . Если имеется несколько эквивалентных седловых точек, то критическая траектория  $\vartheta(\varphi)|_{V=V_0}$  проходит между двумя соседними седловыми точками. Находясь на критической траектории  $V(\vartheta, \varphi) = V_0$ , вектор намагниченности  $\mathbf{M}$  может перейти в другое метастабильное состояние.

Для промежуточной области ( $0.01 < \alpha < 1$ ) скорость выхода  $\Gamma_{ij}$  задается выражением [12,17]

$$\Gamma_{ij} = A(\alpha S_i) \Gamma_{ij}^{\text{IHD}}, \quad (9)$$

где  $S_i$  определяется уравнением (8) и

$$A(\alpha S_i) = \exp \left[ \frac{1}{\pi} \int_0^\infty \frac{\ln [1 - \exp \{-\alpha S_i (\lambda^2 + 1/4)\}]}{\lambda^2 + 1/4} d\lambda \right]. \quad (10)$$

Для выражения (10) справедливы предельные переходы [13]

$$\lim_{\alpha \rightarrow \infty} A(\alpha S_i) = 1, \quad \lim_{\alpha \rightarrow 0} A(\alpha S_i)/\alpha = S_i. \quad (11)$$

С учетом пределов (11) выражение (9) переходит в выражения (6) и (7) соответственно в областях ИHD и VLD.

## 3. Метод матричных непрерывных дробей

Соотношение (9) может быть использовано для оценки наибольшего времени релаксации  $\tau \sim \Gamma_{ij}^{-1}$ . В свою очередь  $\tau$  можно использовать для оценки времени корреляции  $\tau_{\parallel}$  равновесной корреляционной функции  $C(t)$  продольной компоненты намагниченности, определяемой как

$$C(t) = \frac{\langle M_Z(0) M_Z(t) \rangle_0}{\langle M_Z^2(0) \rangle_0} = \frac{\langle \cos \vartheta(0) \cos \vartheta(t) \rangle_0}{\langle \cos^2 \vartheta(0) \rangle_0} \quad (12)$$

(угловые скобки обозначают равновесное усреднение по ансамблю). Время корреляции  $\tau_{\parallel}$  задается выражением [24]

$$\tau_{\parallel} = \int_0^\infty C(t) dt. \quad (13)$$

Другими словами, время корреляции есть площадь под кривой  $C(t)$  (отсюда происходит другое название этого времени — интегральное время релаксации). Время  $\tau_{\parallel}$

может быть также выражено через собственные значения  $\lambda_k$  оператора Фоккера–Планка  $L_{FP}$  из (1), так как  $C(t)$  формально представима в виде ряда релаксационных мод

$$C(t) = \sum_k c_k e^{-\lambda_k t}. \quad (14)$$

Из (13) и (14) имеем

$$\tau_{||} = \sum_k c_k / \lambda_k, \quad (15)$$

где  $\sum_k c_k = 1$ . Согласно (15), время корреляции  $\tau_{||}$  определяется всеми собственными значениями, среди которых наименьшее собственное значение  $\lambda_1$  характеризует переориентации намагниченности  $\mathbf{M}$  через потенциальные барьеры, тогда как другие собственные значения  $\lambda_k$  ( $k \neq 1$ ) характеризуют высокочастотные „внутриямные“ (intrawell) моды. В общем случае для расчета  $C(t)$  и  $\tau_{||}$  необходимо знать все  $\lambda_k$  и  $c_k$ . Однако, в низкотемпературном пределе  $\lambda_1 \ll \lambda_k$  и  $c_1 \approx 1 \gg c_k$  ( $k \neq 1$ ) (при условии, что потенциальные ямы, эквивалентны или почти эквивалентны). В этом случае  $1/\lambda_1$  хорошо аппроксимирует время корреляции  $\tau_{||}$ .

Для расчета времени корреляции  $\tau_{||}$  может быть использован метод непрерывных матричных дробей, развитый в работах [25–27]. Решение уравнения Фоккера–Планка (1) (или уравнения Гильберта (3)) сводится к решению бесконечной системы дифференциальных рекуррентных уравнений для корреляционных функций  $c_{l,m}(t) = \langle \cos \vartheta(0) Y_{l,m}[\vartheta(t), \varphi(t)] \rangle_0$  [24]

$$\frac{d}{dt} c_{l,m}(t) = \sum_{l',m'} d_{l',m',l,m} c_{l',m'}(t), \quad (16)$$

где  $d_{l',m',l,m}$  — матричные элементы оператора Фоккера–Планка и  $Y_{l,m}(\vartheta, \varphi)$  — сферические гармоники (так что  $c_{1,0}(t) = C(t)$ ). Вывод (16) для свободной энергии произвольного типа представлен в [28,29] (см. также [24], глава 7). Уравнения (16) можно преобразовать в матричное рекуррентное уравнение [24–27]

$$\tau_N \frac{d}{dt} \mathbf{C}_n(t) = \mathbf{Q}_n^- \mathbf{C}_{n-1}(t) + \mathbf{Q}_n \mathbf{C}_n(t) + \mathbf{Q}_n^+ \mathbf{C}_{n+1}(t), \quad (n \geq 1), \quad (17)$$

где  $\mathbf{C}_n(t)$  [ $\mathbf{C}_0(t) = 0$ ] — вектор, состоящий из элементов  $c_{l,m}(t)$ , и  $\mathbf{Q}_n^-$ ,  $\mathbf{Q}_n$ ,  $\mathbf{Q}_n^+$  — матрицы, состоящие из элементов  $d_{l',m',l,m}$ . Точное решение уравнения (17) для преобразования Лапласа вектора  $\mathbf{C}_1(t)$  имеет вид [24]

$$\tilde{\mathbf{C}}_1(s) = \tau_N \Delta_1 \left\{ \mathbf{C}_1(0) + \sum_{n=2}^{\infty} \left[ \prod_{k=2}^n \mathbf{Q}_{k-1}^+ \Delta_k \right] \mathbf{C}_n(0) \right\}, \quad (18)$$

где матричная дробь  $\Delta_n(s)$  задается как

$$\Delta_n(s) = \frac{\mathbf{I}}{\tau_N s \mathbf{I} - \mathbf{Q}_n - \mathbf{Q}_n^+ \frac{\mathbf{I}}{\tau_N s \mathbf{I} - \mathbf{Q}_{n+1} - \mathbf{Q}_{n+1}^+ \frac{\mathbf{I}}{\tau_N s \mathbf{I} - \mathbf{Q}_{n+2} - \dots - \mathbf{Q}_{n+2}^-} \mathbf{Q}_{n+1}^-}}.$$

Здесь  $\mathbf{I}$  — единичная матрица и дробная черта обозначает обращение матрицы. Определив  $\tilde{\mathbf{C}}_1(s)$ , можно найти

время корреляции

$$\tau_{||} = \tilde{C}(0) = \tilde{c}_{1,0}(0) / c_{1,0}(0) \quad (19)$$

и спектр корреляционной функции  $\tilde{C}(\omega) = \tilde{c}_{1,0}(i\omega) / c_{1,0}(0)$ . Кроме того, можно оценить и наименьшее собственное значение  $\lambda_1$  из уравнения  $\det(\lambda_1 \mathbf{I} - \mathbf{S}) = 0$ , где матрица  $\mathbf{S}$  определяется как [23]

$$\mathbf{S} = -\tau_\varepsilon^{-1} [\mathbf{Q}_1 + \mathbf{Q}_1^+ \Delta_2(0) \mathbf{Q}_2^-] \times \left[ \mathbf{I} + \sum_{n=2}^{\infty} \prod_{m=1}^{n-1} \mathbf{Q}_m^+ \prod_{k=1}^{n-1} \Delta_{n-k+1}^2(0) \mathbf{Q}_{n-k+1}^- \right]^{-1}. \quad (20)$$

Другими словами,  $\lambda_1$  является наименьшим собственным значением матрицы  $\mathbf{S}$ . Для случаев кубической анизотропии и одноосной анизотропии в присутствии постоянного поля, метод непрерывных матричных дробей был разработан в [23–27]. В данной работе метод непрерывных матричных дробей используется главным образом для оценки точности асимптотических выражений для времени релаксации намагниченности.

#### 4. Одноосная частица во внешнем поперечном поле

Свободная энергия одноосной частицы в присутствии внешнего постоянного поперечного поля  $\mathbf{H}_0$  имеет вид [12]

$$\beta V = \sigma(u_1^2 + u_2^2) - \xi u_1 = \sigma(\sin^2 \vartheta - 2h \sin \vartheta \cos \varphi), \quad (21)$$

где  $\sigma = \beta K$  — безразмерный параметр высоты барьера,  $K$  — константа анизотропии,  $\xi = \beta M_S H_0$  — параметр, характеризующий внешнее постоянное поле и  $h = \xi / (2\sigma)$ . Потенциал (21) при  $0 < h < 1$  имеет одну седловую точку с угловыми координатами  $(\pi/2, 0)$  и два эквивалентных минимума с координатами  $(\arcsin h, 0)$  и  $(\pi - \arcsin h, 0)$ . Случай  $h = 0$  соответствует симметрии типа легкая ось.

Для оценки наименьшего собственного значения  $\lambda_1$  в ИHD области ( $\alpha \geq 1$ ) в случае двух и более метастабильных состояний необходимо определить все возможные пути выхода, используя модель дискретных ориентаций [4,15]. Такой анализ показывает, что средняя намагниченность в кристаллах с одноосной анизотропией в присутствии внешнего постоянного поперечного поля затухает с характерным временем  $1/(2\Gamma_{ij}^{\text{IHD}})$  [12], где скорость выхода  $\Gamma_{ij}^{\text{IHD}}$  задается выражением (6). Учитывая, что

$$\begin{aligned} \beta(V_0 - V_i) &= \sigma(1 - h)^2, & \beta c_1^{(1)} &= \beta c_1^{(2)} = 2\sigma, \\ \beta c_2^{(1)} &= \beta c_2^{(2)} = 2\sigma(1 - h^2), & \beta c_1^{(0)} &= 2\sigma h, \\ \beta c_2^{(0)} &= -2\sigma(1 - h), \end{aligned}$$

имеем [12,22]

$$\tau_{\text{IHD}} \sim \frac{1}{2\Gamma_{12}^{\text{IHD}}} = \frac{2\tau_N \pi \sqrt{h} e^{\sigma(1-h)^2}}{\sigma \sqrt{1+h} (1 - 2h + \sqrt{1+4h(1-h)\alpha^{-2}})}. \quad (22)$$

Наибольшее время релаксации  $\tau = 1/\lambda_1$  в случае двух эквивалентных потенциальных ям  $i$  и  $j$  (где  $V_i = V_j$  и  $S_i = S_j$ ) определяется как [17]

$$\tau = \frac{A(2\alpha S_i)}{A^2(\alpha S_i)} \tau_{\text{IND}}, \quad (23)$$

где действие  $S_i$  задается (8). Для оценки  $S_i$  необходимо найти критическую траекторию  $\vartheta(\varphi)|_{V=V_0}$ . Эта траектория является решением тригонометрического уравнения

$$\sin^2 \vartheta - 2h \sin \vartheta \cos \varphi = 1 - 2h,$$

и для минимума в точке  $\vartheta = \arcsin h$  имеет вид

$$\begin{aligned} \vartheta(\varphi)|_{V=V_0} &= \arccos \left[ \sqrt{2h(1 - h \cos^2 \varphi - \cos \varphi \sqrt{1 - 2h + h^2 \cos^2 \varphi})} \right]. \end{aligned} \quad (24)$$

Из (8) и (24) имеем

$$\begin{aligned} S_i &= \beta \int_0^{2\pi} \left\{ \sin^2 \vartheta_i(\varphi) \frac{\partial V}{\partial \cos \vartheta} + \frac{1}{\sin \vartheta_i(\varphi)} \frac{\partial V}{\partial \varphi} \right\} d\varphi = 16\sigma\sqrt{h} \\ &\times \left[ 1 - \frac{13}{6}h + \frac{11}{8}h^2 - \frac{3}{16}h^3 + \frac{7}{384}h^4 + \frac{h^5}{256} + O(h^6) \right]. \end{aligned} \quad (25)$$

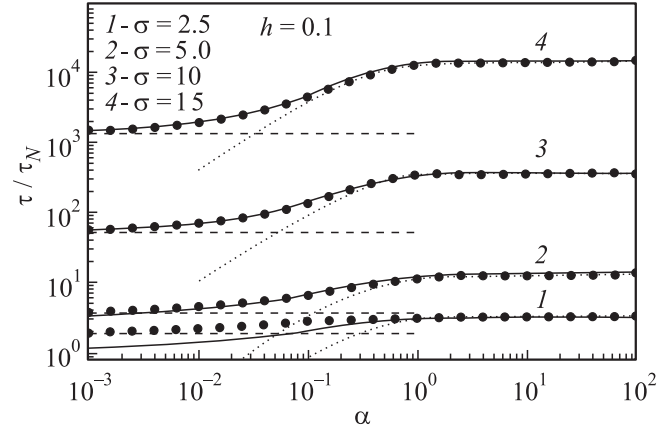
Учитывая (22), (23) и (25), получаем универсальное выражение для времени  $\tau$

$$\tau \sim \frac{2\tau_N \pi \sqrt{h} e^{\sigma(1-h)^2} A(2\alpha S_i)}{\sigma \sqrt{1+h}(1-2h + \sqrt{1+4h(1-h)\alpha^{-2}}) A^2(\alpha S_i)}, \quad (26)$$

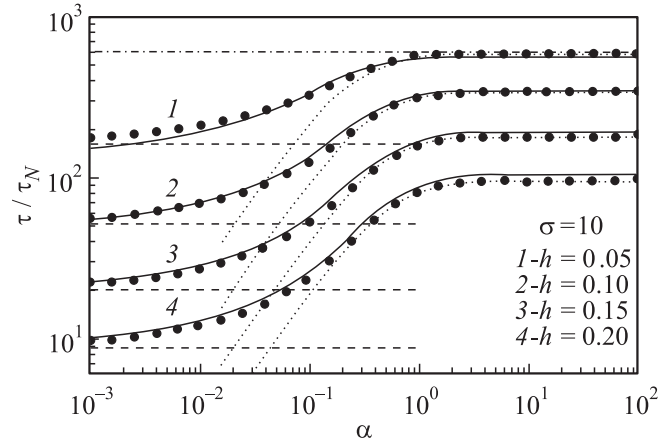
где зависимость диффузионного времени  $\tau_N$  от коэффициента затухания  $\alpha$  задается (2). В области слабого затухания,  $\alpha < 0.001$ , (26) совпадает с VLD асимптотой

$$\begin{aligned} \tau_{\text{VLD}} \sim \frac{1}{2\Gamma_{12}^{\text{VLD}}} &= \frac{\pi\tau_N e^{\sigma(1-h)^2}}{8\sigma^2 \sqrt{h(1-h)^2}} \left[ 1 - \frac{13}{6}h + \frac{11}{8}h^2 \right. \\ &\left. - \frac{3}{16}h^3 + \frac{7}{384}h^4 + \frac{h^5}{256} + O(h^6) \right]^{-1}. \end{aligned} \quad (27)$$

Время релаксации  $\tau$ , определяемое универсальным соотношением (26), и обратная величина наименьшего собственного значения  $1/\lambda_1$ , рассчитанная методом матричных непрерывных дробей, показаны на рис. 1–4. Как видно из этих рисунков, выражение (26) дает хорошее согласие с результатами численных расчетов во всем диапазоне изменения  $\alpha$ , причем удовлетворительное согласие наблюдается при значениях параметра анизотропии  $\sigma \gtrsim 4$ . Следует подчеркнуть, что выражение (26) непригодно для расчета  $\tau$  при малых полях,  $4\sigma h \lesssim 1$ . В этом случае, детально исследованном в [12,22], зависимость плотности свободной энергии  $V$  от азимутального угла  $\varphi$  слабая (потенциал (21) становится



**Рис. 1.** Зависимость  $\tau/\tau_N$  от  $\alpha$  при  $h = 0.1$  и различных значениях  $\sigma$ . Сплошные линии — точное решение методом матричных непрерывных дробей [26]; штриховые линии — выражение (27); пунктирные линии — выражение (22); кружки — универсальное выражение (26).



**Рис. 2.** Зависимость  $\tau/\tau_N$  от  $\alpha$  при  $\sigma = 10$  и различных значениях  $h$ . Обозначения те же, что и на рис. 1. Штрих-пунктирная линия —  $\tau/\tau_N$  для одноосного кристалла (выражение (29)).

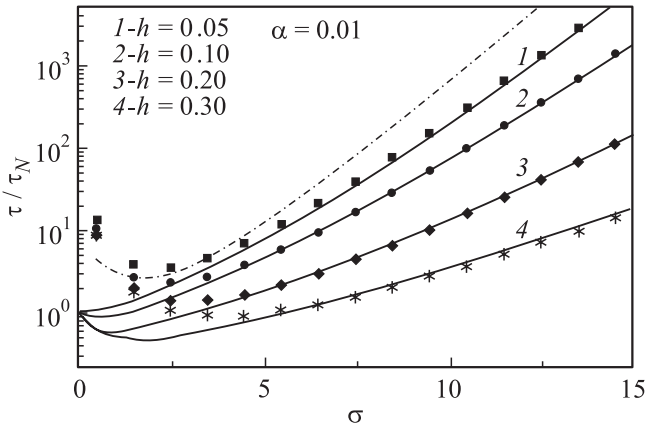
почти аксиально-симметричным) и все пути выхода из потенциальных ям становятся примерно эквивалентными. Здесь для оценки  $\tau$  можно использовать следующее соотношение, полученное в [22] с помощью теории возмущений:

$$\begin{aligned} \tau &\cong \tau_N \left\{ 1 + h^2 \sigma^2 \left[ 1 + 2(2\sigma\alpha^2 e)^{1/(2\sigma\alpha^2)} \right. \right. \\ &\left. \left. \times \gamma \left( 1 + \frac{1}{2\sigma\alpha^2}, \frac{1}{2\sigma\alpha^2} \right) \right] \right\}^{-1}, \end{aligned} \quad (28)$$

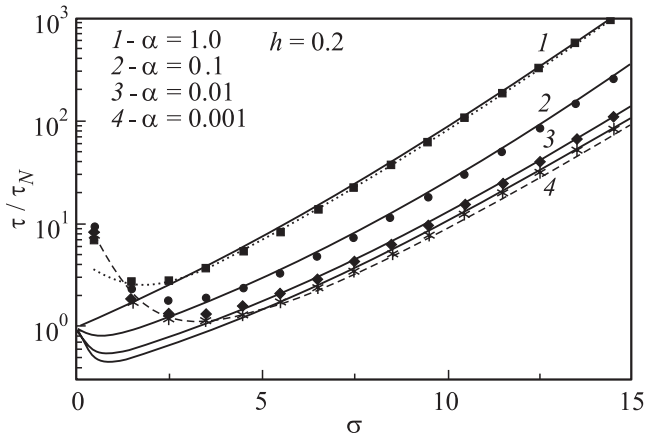
где

$$\tau_B \sim \tau_N \sqrt{\pi} \sigma^{-3/2} e^{\sigma/2} \quad (29)$$

— время релаксации для одноосного (аксиально-симметричного) потенциала [3,4] (для сравнения, асимптота (29) приведена на рис. 2 и 3) и  $\gamma(a, z) = \int_0^z t^{a-1} e^{-t} dt$  — неполная гамма-функция. Можно по-



**Рис. 3.** Зависимость  $\tau/\tau_N$  от  $\sigma$  при  $\alpha = 0.01$  при различных значениях  $h$ . Сплошные линии — точное решение методом матричных непрерывных дробей [26]; символы — универсальное выражение (26), штрих-пунктирная линия —  $\tau/\tau_N$  для одноосного кристалла (выражение (29)).



**Рис. 4.** Зависимость  $\tau/\tau_N$  от  $\sigma$  при  $h = 0.2$  и различных значениях  $\alpha$ . Сплошные линии — точное решение методом матричных непрерывных дробей [26]; символы — универсальное выражение (26); пунктирная линия — выражение (22) при  $\alpha = 1$ ; штриховая линия — выражение (27) для слабого затухания.

казать [22], что выражение в квадратных скобках соотношения (28)  $\approx 1$  и  $\approx \alpha^{-1}\sqrt{\pi/\sigma}$  при  $\alpha \gg 1$  и  $\alpha \ll 1$  соответственно. Область применимости соотношения (28) определяется неравенствами  $h^2\sigma^2 \ll 1$ ,  $\alpha > 4h^2\sigma^{3/2}$  и  $\sigma \gtrsim 4$ .

### 5. Кубическая анизотропия

Свободная энергия кристаллов с кубической анизотропией имеет вид [4,15]

$$\beta V = 4\sigma(u_1^2u_2^2 + u_2^2u_3^2 + u_3^2u_1^2) = \sigma(\sin^4 \vartheta \sin^2 2\varphi + \sin^2 2\vartheta), \quad (30)$$

где  $\sigma K/4$  — безразмерный параметр, характеризующий высоту потенциального барьера,  $K$  — константа

анизотропии, которая может быть как положительной, так и отрицательной. Для  $K > 0$  (кристаллы Fe типа), свободная энергия (30) имеет шесть минимумов (потенциальных ям), восемь максимумов и двенадцать седловых точек. Для  $K < 0$  (кристаллы Ni типа) минимумы становятся максимумами и наоборот. В соответствии с моделью дискретных ориентаций средняя намагниченность в кристаллах с кубической анизотропией затухает с характерными временами  $1/(4\Gamma_{ij}^{IHD})$  и  $1/(2\Gamma_{ij}^{IHD})$  для  $K > 0$  и  $K < 0$  соответственно [4]. Скорость выхода  $\Gamma_{ij}^{IHD}$  задается (6), где

$$\beta(V_0 - V_i) = \sigma, \quad \beta c_1^{(i)} = \beta c_2^{(i)} = 8\sigma,$$

$$c_1^{(0)} = 4\sigma, \quad c_2^{(0)} = -8\sigma, \quad \beta = 0 \quad \text{для } K > 0$$

и

$$\beta(V_0 - V_i) = -\sigma/3, \quad \beta c_1^{(i)} = \beta c_2^{(i)} = 16|\sigma|/3,$$

$$\beta c_1^{(0)} = 8|\sigma|, \quad \beta c_2^{(0)} = -4|\sigma| \quad \text{для } K < 0.$$

Таким образом, имеем [4,15]

$$\tau_{IHD} \sim \frac{1}{4\Gamma_{ij}^{IHD}} = \frac{\tau_N \pi e^\sigma}{2\sqrt{2}\sigma(\sqrt{9+8/\alpha^2}+1)}, \quad (K > 0) \quad (31)$$

и

$$\tau_{IHD} \sim \frac{1}{2\Gamma_{ij}^{IHD}} = \frac{3\tau_N \pi e^{-|\sigma|/3}}{2\sqrt{2}|\sigma|(\sqrt{9+8/\alpha^2}-1)}. \quad (K < 0) \quad (32)$$

Универсальное выражение для  $\tau$  записывается в виде

$$\tau \sim \frac{\tau_{IHD}}{A(\alpha S_i)}. \quad (33)$$

Для оценки  $S_i$  из (8) необходимо определить критическую траекторию  $\vartheta(\varphi)|_{V=V_0}$ . Для минимума в точке  $\vartheta = 0$  ( $K > 0$ ) и для минимума в точке  $(\arccos(1/\sqrt{3}), \pi/4)$  ( $K < 0$ ) искомая траектория проходит через две соседние седловые точки с координатами  $(\arccos(1/\sqrt{2}), 0)$  и  $(\arccos(1/\sqrt{2}), \pi/2)$  и находится из тригонометрического уравнения

$$\sin^4 \vartheta \sin^2 2\varphi + \sin^2 2\vartheta = 1.$$

Соответствующее решение этого уравнения имеет вид

$$\vartheta(\varphi)|_{V=V_0} = \arccos \sqrt{\frac{1 + \sin 2\varphi}{2 + \sin 2\varphi}}. \quad (34)$$

Таким образом, из (8) и (34) имеем

$$S_i = 12|\sigma| \int_0^{\pi/2} \frac{\sin 2\varphi \sqrt{1 + \sin 2\varphi}}{(2 + \sin 2\varphi)^{5/2}} d\varphi = 8\sqrt{2}|\sigma|/9. \quad (35)$$

Учитывая (33), (34) и (35), получаем

$$\tau \sim \frac{\tau_N \pi e^\sigma}{2\sqrt{2}\sigma(\sqrt{9+8/\alpha^2}+1)A(8\sqrt{2}\sigma\alpha/9)}, \quad (K > 0) \quad (36)$$

и

$$\tau \sim \frac{3\tau_N \pi e^{|\sigma|/3}}{2\sqrt{2}|\sigma|(\sqrt{9+8/\alpha^2}-1)A(\alpha|\sigma|8\sqrt{2}/9)}, \quad (K < 0). \quad (37)$$

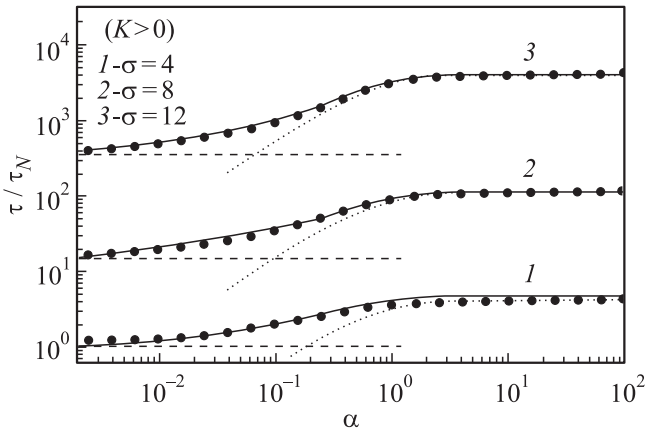
При  $\alpha \ll 1$  выражения (36) и (37) совпадают с соответствующими VLD асимптотами

$$\tau_{\text{VLD}} \sim \frac{1}{4\Gamma_i^{\text{VLD}}} = \frac{\pi e^\sigma}{2\alpha\omega_i S_i} = \frac{9\pi e^\sigma}{64\sqrt{2}\sigma^2} \tau_N, \quad (K > 0) \quad (38)$$

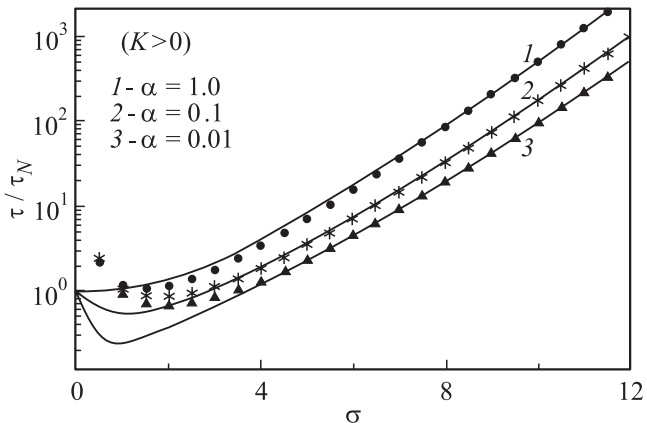
и

$$\tau_{\text{VLD}} \sim \frac{1}{2\Gamma_i^{\text{VLD}}} = \frac{\pi e^{|\sigma|/3}}{\omega_i \alpha S_i} \approx \frac{27\pi e^{|\sigma|/3}}{64\sqrt{2}\sigma^2} \tau_N, \quad (K < 0). \quad (39)$$

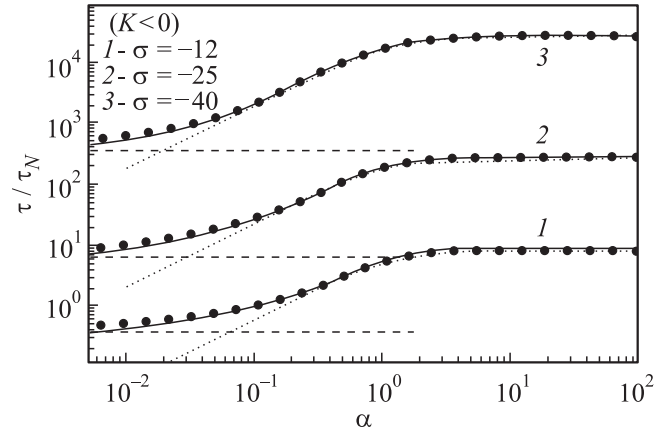
Время корреляции  $\tau_{||}$ , рассчитанное методом матричных непрерывных дробей [26,27], и время релак-



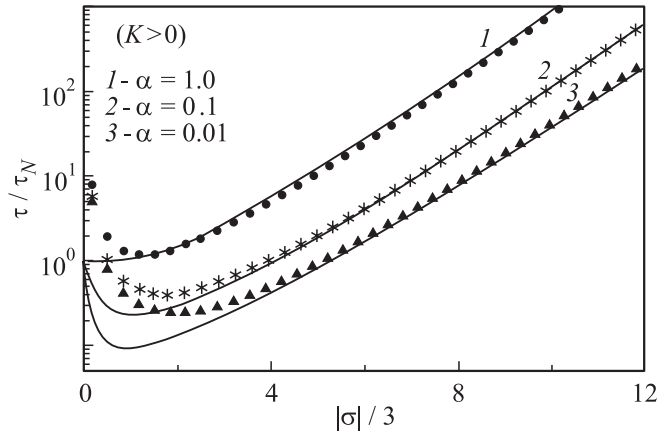
**Рис. 5.** Зависимость  $\tau/\tau_N$  от  $\alpha$  при различных значениях  $\sigma$  ( $K > 0$ ). Сплошные линии — точное решение методом матричных непрерывных дробей для времени корреляции  $\tau_{||}$ ; штриховые линии — выражение (38); пунктирные линии — выражение (31); кружки — универсальное выражение (36).



**Рис. 6.** Зависимость  $\tau/\tau_N$  от  $\alpha$  при различных значениях  $\sigma$  ( $K < 0$ ).



**Рис. 7.** Зависимость  $\tau/\tau_N$  от  $\sigma$  при различных значениях  $\alpha$  в промежуточной области для ( $K > 0$ ). Сплошные линии — точное решение методом матричных непрерывных дробей для времени корреляции  $\tau_{||}$ ; кружки — универсальное выражение (36).



**Рис. 8.** Зависимость  $\tau/\tau_N$  от  $\sigma$  при различных значениях  $\alpha$  ( $K < 0$ ).

сации  $\tau$ , определяемое универсальными соотношениями (36) и (37), показаны на рис. 5–8 как функция  $\alpha$  и  $\sigma$ . Для сравнения на этих рисунках приведены асимптоты для областей IHD и VLD из (31), (32) и (38), (39). Как видно, универсальные выражения (36) и (37) дают хорошее согласие с численными расчетами во всем диапазоне изменения параметра  $\alpha$ , включая IHD, VLD и промежуточную области; причем удовлетворительное согласие наблюдается, начиная с умеренных значений потенциального барьера ( $\sigma \gtrsim 3$  при  $K > 0$  и  $|\sigma| \gtrsim 10$  при  $K < 0$ ).

## 6. Заключение

Таким образом, метод [13] расчета скорости выхода механической броуновской частицы из потенциальной ямы, обобщенный на случай суперпарамагнитных частиц [12,17], позволяет получать простые асимптотиче-

ские формулы для времени релаксации намагниченности  $\tau$ . Расчеты по этим формулам находятся в полном согласии с результатами численного решения уравнения Ландау–Лифшица–Гильберта методом непрерывных матричных дробей во всем диапазоне изменения параметра диссипации (слабое затухание, умеренное и сильное затухание, промежуточная область между слабым и умеренным затуханием). Полученные таким образом выражения для времени релаксации намагниченности  $\tau$  в случаях кубической анизотропии и одноосной анизотропии в присутствии постоянного поперечного поля (соотношения (26), (36) и (37)) позволяют легко оценить  $\tau$  с хорошей точностью при всех значениях  $\alpha$ . Хорошую точность асимптотических формул можно объяснить следующим образом. Зависимость времени релаксации  $\tau$  от высоты потенциального барьера  $\Delta U$  при больших  $\Delta U$  хорошо аппроксимируется экспоненциальной зависимостью  $\tau \sim \tau_0 e^{\beta \Delta U}$ , что является следствием равновесных свойств системы, а именно бoльцмановского распределения на дне потенциальной ямы. С другой стороны, зависимость времени релаксации  $\tau$  от параметра затухания  $\alpha$  обусловлена неравновесными (динамическими) свойствами системы и содержится в предэкспоненциальном множителе  $\tau_0$ , вид которого существенно зависит от упрощений, которые допускаются в оценочных выражениях. Таким образом, постулировать бoльцмановское распределение на дне потенциальной ямы недостаточно. Необходимо также задать функцию распределения в седловых точках свободной энергии. Как заметил Крамерс [10], точность выражений скорости выхода не столь существенна с экспериментальной точки зрения, поскольку методики экспериментов обычно направлены на определение множителя  $\tau_0$  и позволяют это делать с той или иной степенью точности. Однако, определение зависимости времени релаксации от параметра затухания  $\alpha$  с помощью аналитических методов является очень важным моментом, так как позволяет судить о механизмах релаксационных процессов в магнитных системах.

## Список литературы

- [1] L. Néel. *Ann. Géophys.* **5**, 1, 99 (1949).
- [2] C.P. Pean, J.D. Livingston. *J. Appl. Phys. Suppl.* **30**, 1, 120S (1959).
- [3] W.F. Brown, Jr. *Phys. Rev.* **130**, 5, 1677 (1963).
- [4] W.F. Brown, Jr. *IEEE Trans. Mag.* **15**, 5, 1196 (1979).
- [5] L.D. Landau, E.M. Lifshitz. *Phys. Z. Sowjetunion* **8**, 1, 153 (1935).
- [6] T.L. Gilbert. *Phys. Rev.* **100**, 5, 1243 (1956).
- [7] Yu.L. Raikher, M.I. Shliomis. *Adv. Chem. Phys.* **87**, 595 (1994).
- [8] W.T. Coffey, P.J. Cregg, Yu.P. Kalmykov. *Adv. Chem. Phys.* **83**, 263 (1993).
- [9] I. Klik, L. Gunther. *J. Stat. Phys.* **60**, 3–4, 473 (1990); *J. Appl. Phys.* **67**, 9, 4505 (1990).
- [10] H.A. Kramers. *Physica (Utrecht)* **7**, 4, 284 (1940).
- [11] P. Hänggi, P. Talkner, M. Borkovec. *Rev. Mod. Phys.* **62**, 2, 251 (1990).
- [12] W.T. Coffey, D.A. Garanin, D. McCarthy. *Adv. Chem. Phys.* **117**, 528 (2001).
- [13] V.I. Mel'nikov, S.V. Meshkov. *J. Chem. Phys.* **85**, 2, 1018 (1986).
- [14] V.I. Mel'nikov. *Phys. Rep.* **209**, 1–2, 1 (1991).
- [15] D.A. Smith, F.A. de Rozario. *J. Magn. Magn. Mater.* **3**, 3, 219 (1976).
- [16] J.S. Langer. *Ann. Phys. (N.Y.)* **54**, 2, 258 (1969).
- [17] P.M. Déjardin, D.S.F. Crothers, W.T. Coffey, D.J. McCarthy. *Phys. Rev. E* **63**, 2, 021 102 (2001).
- [18] I. Eisenstein, A. Aharoni. *Phys. Rev. B* **16**, 3, 1278 (1977).
- [19] I. Eisenstein, A. Aharoni. *Phys. Rev. B* **16**, 3, 1285 (1977).
- [20] W. Wernsdorfer. *Adv. Chem. Phys.* **118**, 99 (2001).
- [21] W.T. Coffey, D.S.F. Crothers, J.L. Dormann, Yu.P. Kalmykov, E.C. Kennedy, W. Wernsdorfer. *Phys. Rev. Lett.* **80**, 25, 5655 (1998).
- [22] D.A. Garanin, E.C. Kennedy, D.S.F. Crothers, W.T. Coffey. *Phys. Rev. E* **60**, 6, 6499 (1999).
- [23] Yu.P. Kalmykov. *Phys. Rev. E* **62**, 1, 227 (2000).
- [24] W.T. Coffey, Yu.P. Kalmykov, J.T. Waldron. *The Langevin Equation*. 2<sup>nd</sup> ed. World Scientific, Singapore (2004).
- [25] Ю.П. Калмыков, С.В. Титов. *ФТТ* **40**, 9, 1642 (1998).
- [26] Ю.П. Калмыков, С.В. Титов. *ЖЭТФ* **115**, 1, 101 (1999).
- [27] Yu.P. Kalmykov, S.V. Titov, W.T. Coffey. *Phys. Rev. B* **58**, 6, 3267 (1998).
- [28] Yu.P. Kalmykov, S.V. Titov. *Phys. Rev. Lett.* **82**, 14, 2967 (1999).
- [29] Yu.P. Kalmykov, S.V. Titov. *J. Magn. Magn. Mater.* **210**, 1–2, 233 (2000).